

**Description**

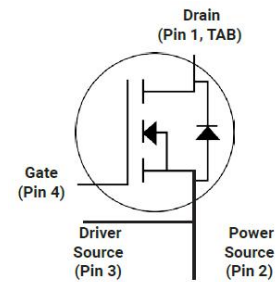
Silicon Carbide (SiC) MOSFET use a completely new technology that provide superior switching performance and higher reliability compared to Silicon. In addition, the low ON resistance and compact chip size ensure low capacitance and gate charge. Consequently, system benefits include highest efficiency, faster operating frequency, increased power density, reduced EMI, and reduced system size.

**Features**

- High Speed Switching with Low Capacitances
- High Blocking Voltage with Low RDS(on)
- Simple to drive with Standard Gate Drive
- 100% avalanche tested
- Maximum junction temperature of 150 C
- ROHS Compliant

**Application**

- EV Charging
- DC-AC Inverters
- High Voltage DC/DC Converters
- Switch Mode Power Supplies
- Power Factor Correction Modules
- Motor Drives


**Ordering Information**

Part Number	Marking	Package	Packaging
JX4S0080065M	JX4S0080065M	TO247-4	Tube



**Absolute Maximum Ratings(Tc=25 )**

Symbol	Parameter	Value	Unit
V <sub>DS</sub>	Drain-Source Voltage	650	V
I <sub>D</sub>	Drain Current(continuous)at Tc=25	40	A
I <sub>D</sub>	Drain Current(continuous)at Tc=100	20	A
I <sub>DM</sub>	Drain Current (pulsed)	60	A
V <sub>GS</sub>	Gate-Source Voltage	-10/+20	V
P <sub>D</sub>	Power Dissipation T <sub>C</sub> = 25°C	152	W
T <sub>J</sub> , T <sub>stg</sub>	Junction and Storage Temperature Range	-55 to +150	

**Electrical Characteristics(T<sub>J</sub> = 25 unless otherwise specified)**

**Typical Performance-Static**

Symbol	Parameter	Test Conditions	Min.	Typ.	Max.	Unit
BV <sub>DS</sub>	Drain-source Breakdown Voltage	I <sub>D</sub> =250uA, V <sub>GS</sub> =0V	650			V
I <sub>DSS</sub>	Zero Gate Voltage Drain Current	V <sub>DS</sub> =650V, V <sub>GS</sub> =0V, T <sub>J</sub> =25 C			100	uA
I <sub>GSS</sub>	Gate-body Leakage Current	V <sub>DS</sub> =0V ; V <sub>GS</sub> =-10 to 18V			250	nA
V <sub>GS(th)</sub>	Gate Threshold Voltage	V <sub>DS</sub> = V <sub>GS</sub> , I <sub>D</sub> =5mA	1.5		3.5	V
R <sub>D(ON)</sub>	Static Drain-source On Resistance	V <sub>GS</sub> =18V, I <sub>D</sub> =20A		60	79	mΩ
R <sub>G</sub>	Gate Resistance	V <sub>GS</sub> =0V, f=1MHz		3		

**Typical Performance-Dynamic**

C <sub>iss</sub>	Input Capacitance	V <sub>DS</sub> =470V, f=1MHz, V <sub>GS</sub> =0V		1648		pF
C <sub>oss</sub>	Output Capacitance			86		pF
C <sub>rss</sub>	Reverse Transfer Capacitance			12		pF
Q <sub>g</sub>	Total Gate Charge	V <sub>DS</sub> =470V, I <sub>D</sub> =30A, V <sub>GS</sub> =-5~20V		82		nC
Q <sub>gs</sub>	Gate-source Charge			19		nC
Q <sub>gd</sub>	Gate-Drain Charge			22		nC
t <sub>d(on)</sub>	Turn-on Delay Time	V <sub>DD</sub> =470V, I <sub>D</sub> =30A, V <sub>GS</sub> =-5V~20V, R <sub>G</sub> =0Ω,		19		ns
t <sub>r</sub>	Rise Time			23		ns
t <sub>d(off)</sub>	Turn-off Delay Time			35		ns
t <sub>f</sub>	Fall Time			21		ns

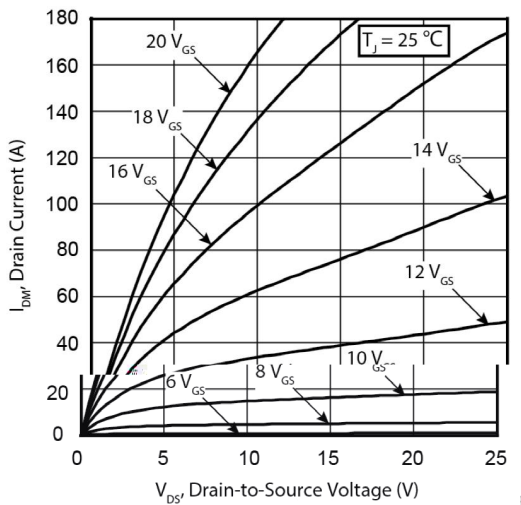
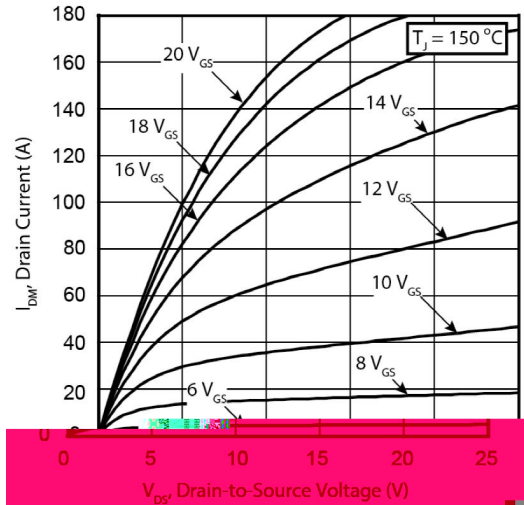
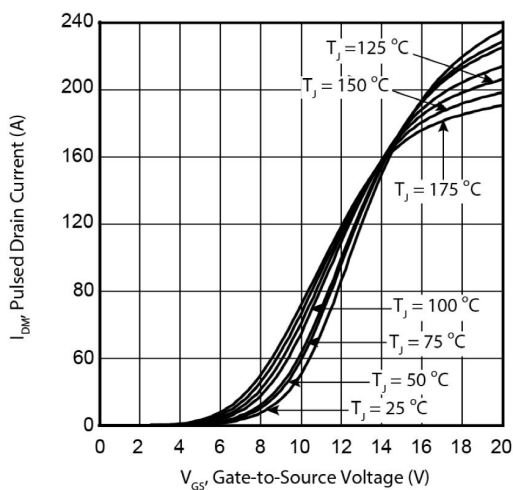
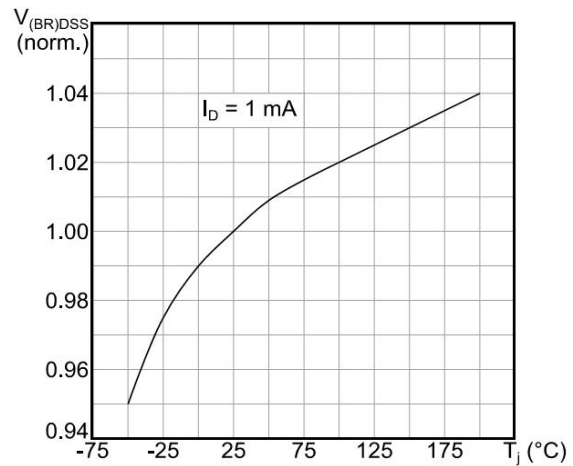
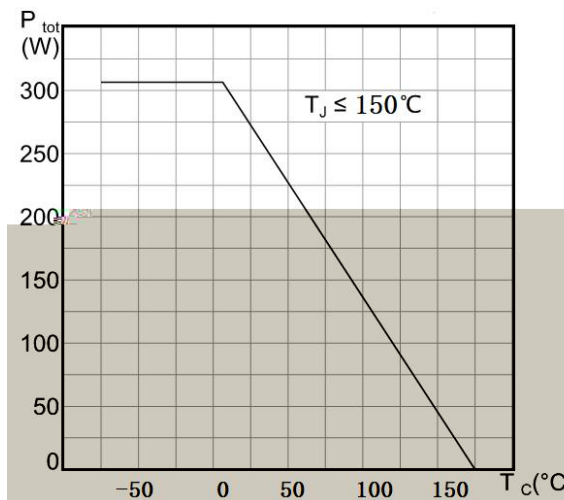
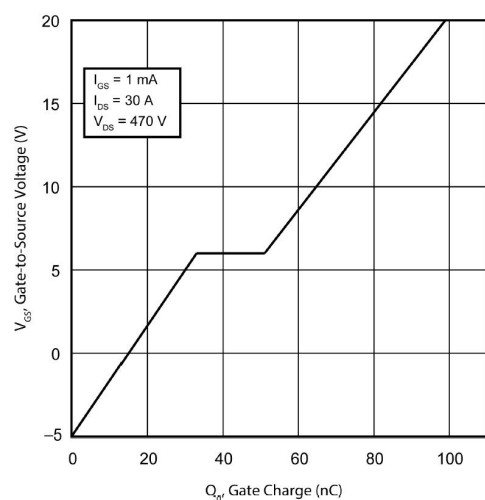
**Typical Performance-Reverse Diode**

Symbol	Parameter	Test Conditions	Min.	Typ.	Max.	Unit
V <sub>FSD</sub>	Forward Voltage	V <sub>GS</sub> =0V, I <sub>F</sub> =20A, T <sub>J</sub> =25 C	3		6	V
		V <sub>GS</sub> =0V, I <sub>F</sub> =20A, T <sub>J</sub> =150 C	3		6	V
t <sub>rr</sub>	Reverse Recovery Time	V <sub>GS</sub> =-5 V, I <sub>F</sub> =20 A, V <sub>R</sub> =470 V, di/dt= -1000 A/μs		31		ns
Q <sub>rr</sub>	Reverse Recovery Charge			242		nC
I <sub>rm</sub>	Peak Reverse Recovery Current			18		A

**Thermal Characteristics**

Symbol	Parameter	Value.	Unit
R <sub>JC</sub>	Thermal Resistance, Junction-to-Case	0.82	C/W
R <sub>JA</sub>	Thermal Resistance, Junction-to-Air	40	C/W

The values are based on the junction-to case thermal impedance which is measured with the device mounted to a large heat sink assuming maximum junction temperature of T<sub>J</sub>(max)=150

**Electrical Characteristics (25 unless noted)**

**Figure 1: Output characteristics ( $T_J = 25\text{ }^\circ\text{C}$ )**

**Figure 2: Output characteristics ( $T_J = 150\text{ }^\circ\text{C}$ )**

**Figure 3: Transfer characteristics**

**Figure 4 Normalized BVDSS vs. Temperature**

**Figure 5: Power dissipation**

**Figure 6: Gate charge vs gate-source voltage**

**Figure 7: Capacitance variations**

**Figure 8: Switching energy vs. drain current**

**Figure 9: Normalized  $V_{th}$**

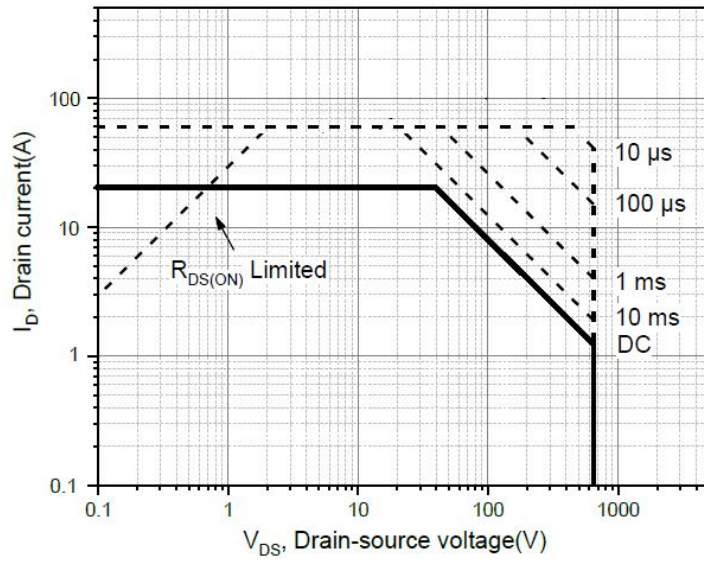
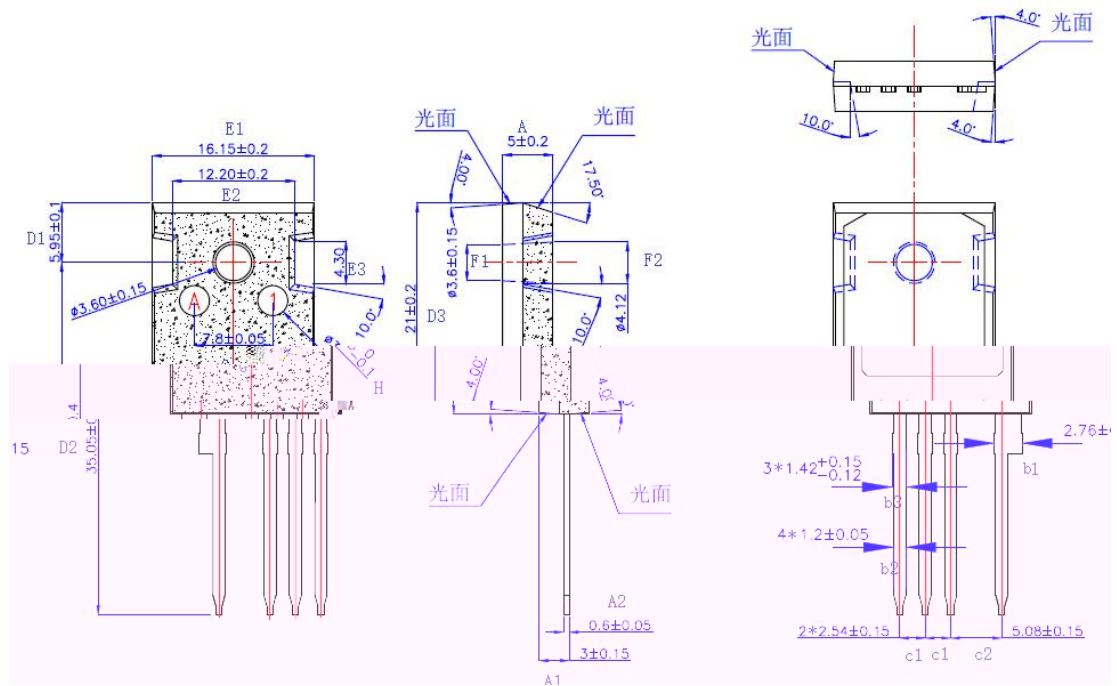


Figure 13: Safe operating area

Package Drawing:



Dimensions UNIT mm

SYM	MILLIMETERS		SYM	MILLIMETERS	
	MIN	MAX		MIN	MAX
A	4.98	5.02	D2	34.65	35.45
A1	2.85	3.15	D3	20.80	21.20
A2	0.55	0.65	F1	1.42	1.42
E1	16.15	16.15	F2	1.2	1.2
E2	12.20	12.20	H	1.4	1.4
F1	1.42	1.42	H1	1.4	1.4
F2	1.2	1.2	H2	1.4	1.4
H	1.4	1.4	H3	1.4	1.4
H1	1.4	1.4	H4	1.4	1.4
H2	1.4	1.4	H5	1.4	1.4
H3	1.4	1.4	H6	1.4	1.4
H4	1.4	1.4	H7	1.4	1.4
H5	1.4	1.4	H8	1.4	1.4
H6	1.4	1.4	H9	1.4	1.4
H7	1.4	1.4	H10	1.4	1.4
H8	1.4	1.4	H11	1.4	1.4
H9	1.4	1.4	H12	1.4	1.4
H10	1.4	1.4	H13	1.4	1.4
H11	1.4	1.4	H14	1.4	1.4
H12	1.4	1.4	H15	1.4	1.4
H13	1.4	1.4	H16	1.4	1.4
H14	1.4	1.4	H17	1.4	1.4
H15	1.4	1.4	H18	1.4	1.4
H16	1.4	1.4	H19	1.4	1.4
H17	1.4	1.4	H20	1.4	1.4
H18	1.4	1.4	H21	1.4	1.4
H19	1.4	1.4	H22	1.4	1.4
H20	1.4	1.4	H23	1.4	1.4
H21	1.4	1.4	H24	1.4	1.4
H22	1.4	1.4	H25	1.4	1.4
H23	1.4	1.4	H26	1.4	1.4
H24	1.4	1.4	H27	1.4	1.4
H25	1.4	1.4	H28	1.4	1.4
H26	1.4	1.4	H29	1.4	1.4
H27	1.4	1.4	H30	1.4	1.4
H28	1.4	1.4	H31	1.4	1.4
H29	1.4	1.4	H32	1.4	1.4
H30	1.4	1.4	H33	1.4	1.4
H31	1.4	1.4	H34	1.4	1.4
H32	1.4	1.4	H35	1.4	1.4
H33	1.4	1.4	H36	1.4	1.4
H34	1.4	1.4	H37	1.4	1.4
H35	1.4	1.4	H38	1.4	1.4
H36	1.4	1.4	H39	1.4	1.4
H37	1.4	1.4	H40	1.4	1.4
H38	1.4	1.4	H41	1.4	1.4
H39	1.4	1.4	H42	1.4	1.4
H40	1.4	1.4	H43	1.4	1.4
H41	1.4	1.4	H44	1.4	1.4
H42	1.4	1.4	H45	1.4	1.4
H43	1.4	1.4	H46	1.4	1.4
H44	1.4	1.4	H47	1.4	1.4
H45	1.4	1.4	H48	1.4	1.4
H46	1.4	1.4	H49	1.4	1.4
H47	1.4	1.4	H50	1.4	1.4
H48	1.4	1.4	H51	1.4	1.4
H49	1.4	1.4	H52	1.4	1.4
H50	1.4	1.4	H53	1.4	1.4
H51	1.4	1.4	H54	1.4	1.4
H52	1.4	1.4	H55	1.4	1.4
H53	1.4	1.4	H56	1.4	1.4
H54	1.4	1.4	H57	1.4	1.4
H55	1.4	1.4	H58	1.4	1.4
H56	1.4	1.4	H59	1.4	1.4
H57	1.4	1.4	H60	1.4	1.4
H58	1.4	1.4	H61	1.4	1.4
H59	1.4	1.4	H62	1.4	1.4
H60	1.4	1.4	H63	1.4	1.4
H61	1.4	1.4	H64	1.4	1.4
H62	1.4	1.4	H65	1.4	1.4
H63	1.4	1.4	H66	1.4	1.4
H64	1.4	1.4	H67	1.4	1.4
H65	1.4	1.4	H68	1.4	1.4
H66	1.4	1.4	H69	1.4	1.4
H67	1.4	1.4	H70	1.4	1.4
H68	1.4	1.4	H71	1.4	1.4
H69	1.4	1.4	H72	1.4	1.4
H70	1.4	1.4	H73	1.4	1.4
H71	1.4	1.4	H74	1.4	1.4
H72	1.4	1.4	H75	1.4	1.4
H73	1.4	1.4	H76	1.4	1.4
H74	1.4	1.4	H77	1.4	1.4
H75	1.4	1.4	H78	1.4	1.4
H76	1.4	1.4	H79	1.4	1.4
H77	1.4	1.4	H80	1.4	1.4
H78	1.4	1.4	H81	1.4	1.4
H79	1.4	1.4	H82	1.4	1.4
H80	1.4	1.4	H83	1.4	1.4
H81	1.4	1.4	H84	1.4	1.4
H82	1.4	1.4	H85	1.4	1.4
H83	1.4	1.4	H86	1.4	1.4
H84	1.4	1.4	H87	1.4	1.4
H85	1.4	1.4	H88	1.4	1.4
H86	1.4	1.4	H89	1.4	1.4
H87	1.4	1.4	H90	1.4	1.4
H88	1.4	1.4	H91	1.4	1.4
H89	1.4	1.4	H92	1.4	1.4
H90	1.4	1.4	H93	1.4	1.4
H91	1.4	1.4	H94	1.4	1.4
H92	1.4	1.4	H95	1.4	1.4
H93	1.4	1.4	H96	1.4	1.4
H94	1.4	1.4	H97	1.4	1.4
H95	1.4	1.4	H98	1.4	1.4
H96	1.4	1.4	H99	1.4	1.4
H97	1.4	1.4	H100	1.4	1.4